

А. Д. Дяченко, С. М. Десенко<sup>а</sup>, В. Д. Дяченко, А. Н. Чернега<sup>б</sup>

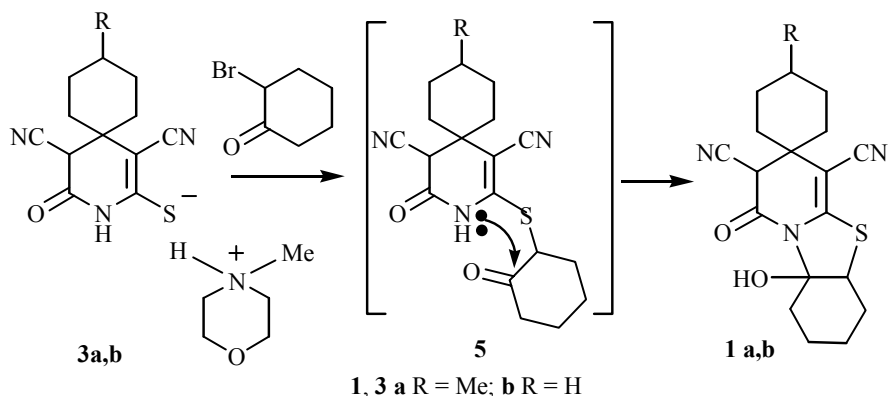
### НОВЫЙ ПУТЬ К ЧАСТИЧНО ГИДРИРОВАННЫМ ТИАЗОЛО[3,2-*a*]ПИРИДИНАМ

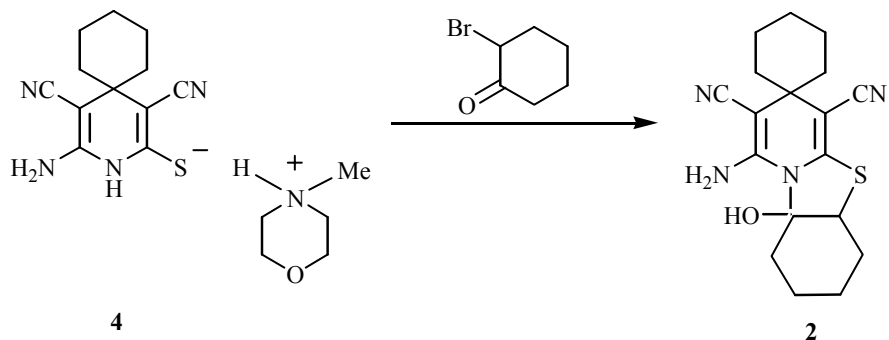
Взаимодействием функционально замещенных ди- и тетрагидропиридин-2-тиолатов аммония с 2-бромциклогексаноном синтезированы частично гидрированные тиазоло[3,2-*a*]пиридины. Строение 3-гидрокси-2,3-тетраметилен-5-оксо-6,8-дициано-2,3,4,5,6,7-гексагидроспиротиазоло[3,2-*a*]пиридин-7,1'-(4'-метилциклогексана) доказано методом РСА.

**Ключевые слова:** 2-бромциклогексанон, пиридин-2-тиолаты аммония, тиазоло[3,2-*a*]пиридины, алкилирование, дегидратация, дегидрирование, РСА, циклизация.

Частично гидрированные тиазоло[3,2-*a*]пиридины – известный класс биологически активных соединений [1]. Их получают как конденсацией нециклических молекул 1,5-дикарбонильных соединений с  $\alpha$ -амино- $\beta$ -меркаптопропионовой кислотой [2, 3], так и достраиванием к пиридин-2-тионому фрагменту тиазольного цикла. Последнее направление представлено следующими основными методами: взаимодействие 1,4-дигидропиридин-2-тиолатов с 1,2-дибромэтаном [4], а также внутримолекулярные конденсации 2-карбамоилметилтио-1,4-дигидропиридинов [5], 2-аллилтиопиридинов [6] и 2-циклогекс-2-енилтиопиридинов [7].

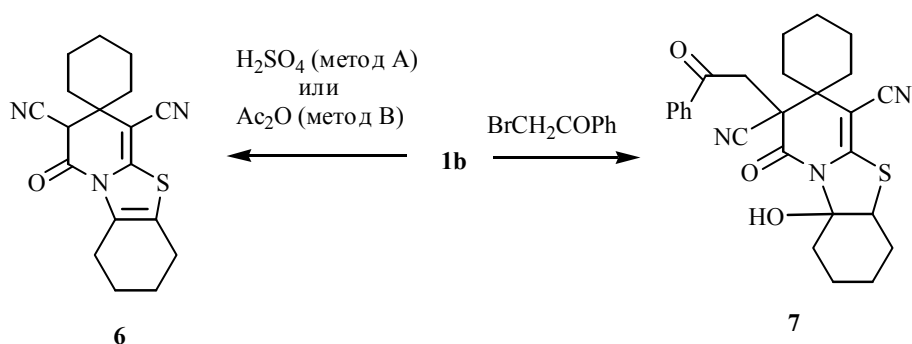
Нами предложен метод синтеза 3-гидрокси-2,3-тетраметилен-5-оксо-(амино)-6,8-дициано-2,3,4,5,6,7-гексагидроспиротиазоло[3,2-*a*]пиридин-7,1'-(4'-*R*-циклогексанов) **1a,b** и **2** алкилированием соответствующих солей **3a,b** и **4** 2-бромциклогексаноном. Первой стадией реакции является алкилирование аниона солей **3a,b** и **4** по атому серы с образованием сульфида **5**, а затем, по-видимому, происходит стереоспецифическая нуклеофильная атака неподеленной парой электронов атома азота по карбонильному атому углерода с последующим образованием частично гидрированных тиазопиридинов **1a,b** и **2**.



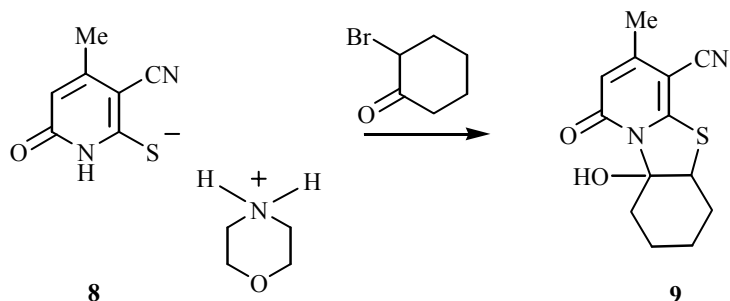


При кипячении соединения **1b** в этаноле в присутствии конц.  $H_2SO_4$  происходит отщепление воды и образуется 2,3-тетраметилен-5-оксо-6,8-дициано-4,5,6,7-тетрагидроспиротиазоло[3,2-*a*]пиридин-7-циклогексан (**6**) (метод А). Этот же продукт получен при использовании в качестве водоотнимающего средства уксусного ангидрида (метод Б).

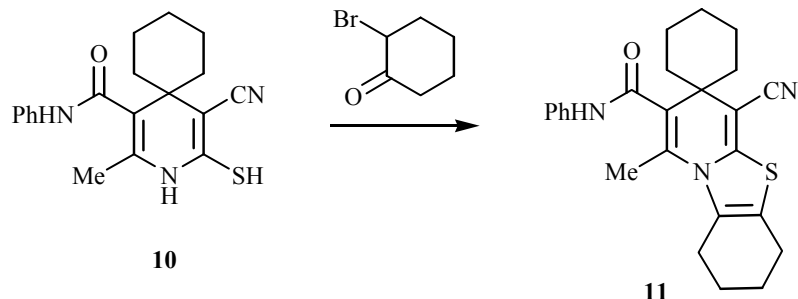
На примере взаимодействия соединения **1b** с  $\alpha$ -бромацетофеноном в ДМФА в присутствии КОН показана возможность региоселективного алкилирования частично гидрированных тиазолопиридонов по атому  $C_{(6)}$  с образованием соединения **7**, по структуре соответствующего исходному гетероциклу.



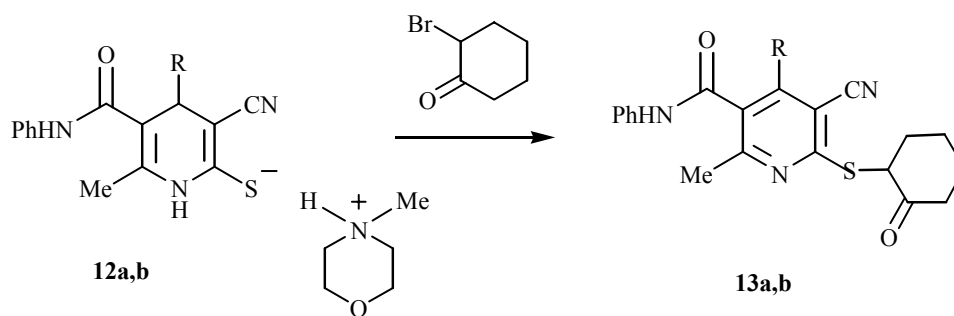
При алкилировании 4-метил-6-оксо-3-циано-1,6-дигидропиридин-2-тиолат морфолина (**8**) 2-бромциклогексаноном был получен также содержащий группу OH 3-гидрокси-2,3-тетраметилен-5-оксо-7-метил-8-циано-2,3,4,5-тетрагидротиазоло[3,2-*a*]пиридин (**9**).



В то же время алкилирование в тех же условиях 6-метил-5-фенилкарбамоил-4-спирочиклогексан-3-циано-1,4-дигидропиридин-2-тиола (**10**) 2-бромциклогексаноном привело к дегидрированному продукту первоначальной циклизации **11**.

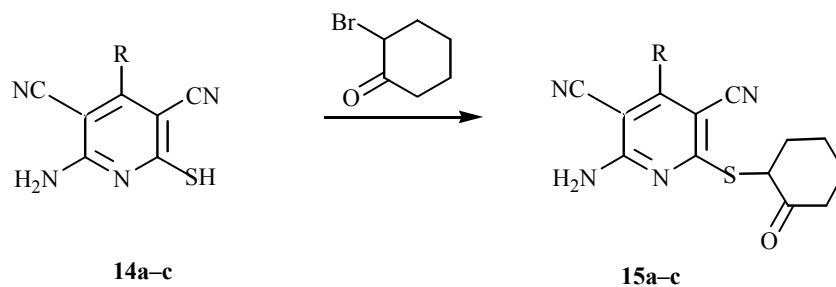


Следует отметить также, что арилзамещенные 1,4-дигидропиридин-тиолаты **12** при алкилировании 2-бромциклогексаноном претерпевают в ходе реакции ароматизацию, протекающую, вероятно, под действием кислорода воздуха, и образуются 4-арилзамещенные 2-(2-оксоциклогексилтио)пиридины **13**.



**12, 13 a** R = 2-тиенил; **b** R = 4-пиридил

2-Меркаптопиридины **14a–c** при взаимодействии с 2-бромциклогексаноном в основной среде образуют только сульфиды **15a–c**.



**14, 15 a** R = 4-НОС<sub>6</sub>H<sub>4</sub>; **b** R = 2-фурил; **c** R = 4-Ме<sub>2</sub>СНС<sub>6</sub>H<sub>4</sub>

## Характеристики синтезированных соединений

Соединение	Брутто-формула	Найдено, % Вычислено, %			Т. пл., °С*	Выход, %
		С	Н	N		
<b>1a</b>	C <sub>19</sub> H <sub>23</sub> N <sub>3</sub> O <sub>2</sub> S	<u>63.89</u>	<u>6.30</u>	<u>11.93</u>	223–225	59
		63.84	6.48	11.76		
<b>1b</b>	C <sub>18</sub> H <sub>21</sub> N <sub>3</sub> O <sub>2</sub> S	<u>63.11</u>	<u>5.92</u>	<u>12.41</u>	174–176	64
		62.95	6.16	12.23		
<b>2</b>	C <sub>18</sub> H <sub>22</sub> N <sub>4</sub> OS	<u>62.98</u>	<u>6.35</u>	<u>16.41</u>	197–199	73
		63.13	6.48	16.36		
<b>6</b>	C <sub>18</sub> H <sub>19</sub> N <sub>3</sub> OS	<u>66.39</u>	<u>5.72</u>	<u>13.04</u>	150–152	55
		66.43	5.88	12.91		
<b>7</b>	C <sub>26</sub> H <sub>27</sub> N <sub>3</sub> O <sub>3</sub> S	<u>67.50</u>	<u>5.81</u>	<u>8.96</u>	230–232	58
		67.65	5.90	9.10		
<b>9</b>	C <sub>13</sub> H <sub>14</sub> N <sub>2</sub> O <sub>2</sub> S	<u>59.65</u>	<u>5.17</u>	<u>10.59</u>	193–195	81
		59.52	5.38	10.68		
<b>11</b>	C <sub>25</sub> H <sub>27</sub> N <sub>3</sub> OS	<u>72.02</u>	<u>6.47</u>	<u>9.89</u>	137–139	76
		71.91	6.52	10.06		
<b>13a</b>	C <sub>24</sub> H <sub>21</sub> N <sub>3</sub> O <sub>2</sub> S <sub>2</sub>	<u>64.25</u>	<u>4.57</u>	<u>9.43</u>	207–209	53
		64.40	4.73	9.39		
<b>13b</b>	C <sub>25</sub> H <sub>22</sub> N <sub>4</sub> O <sub>2</sub> S	<u>67.71</u>	<u>4.86</u>	<u>12.73</u>	209–211	51
		67.85	5.01	12.66		
<b>15a</b>	C <sub>19</sub> H <sub>16</sub> N <sub>4</sub> O <sub>2</sub> S	<u>62.79</u>	<u>4.51</u>	<u>15.44</u>	230–231	53
		62.62	4.43	15.38		
<b>15b</b>	C <sub>17</sub> H <sub>14</sub> N <sub>4</sub> O <sub>2</sub> S	<u>60.47</u>	<u>3.98</u>	<u>16.69</u>	222–224	60
		60.34	4.17	16.56		
<b>15c</b>	C <sub>22</sub> H <sub>22</sub> N <sub>4</sub> OS	<u>67.81</u>	<u>5.51</u>	<u>14.48</u>	267–268	57
		67.66	5.68	14.35		

\* Кристаллизовали соединения **1a,b**, **2**, **6**, **11**, **13a,b** из EtOH, соединения **7**, **9**, **15a-c** – из AcOH.

Физико-химические и спектральные характеристики подтверждают строение синтезированных соединений. Особенностью спектров ЯМР <sup>1</sup>H (DMCO-d<sub>6</sub>) частично гидрированных тиазолопиридинов **1a** и **1b** является наличие удвоенных равноинтенсивных сигналов протонов SCH–, HO– и C(6)H, что объясняется, по-видимому, наличием в растворе равных количеств двух диастереомеров (табл. 2). Однако в спектре ЯМР <sup>1</sup>H соединения **1a**, измеренном в CDCl<sub>3</sub>, удвоения сигналов не наблюдается. Этот факт требует дополнительных исследований, которые будут проведены в ближайшее время.

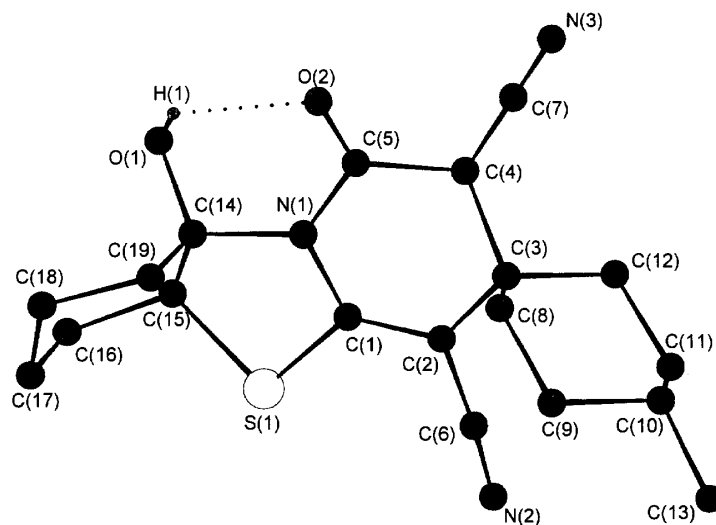


Рис. 1. Общий вид молекулы (**1a**) с нумерацией атомов (из атомов водорода показан лишь атом H<sub>(1)</sub>)

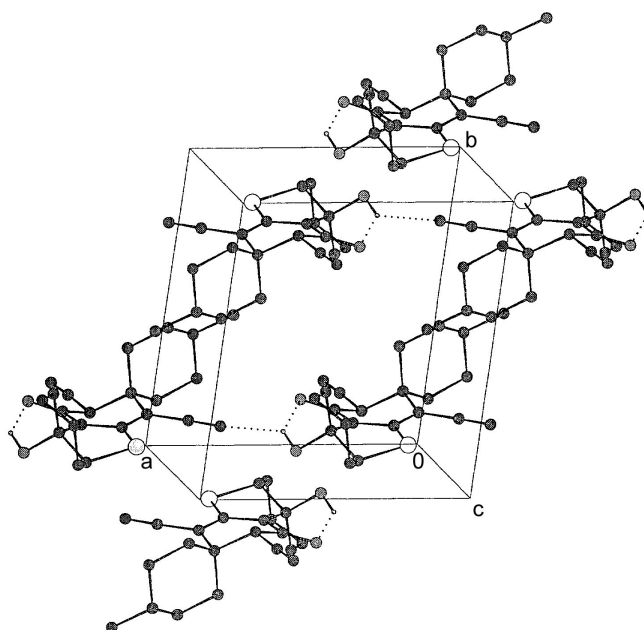


Рис. 2. Кристаллическая упаковка соединения (**1a**)

Спектры ЯМР  $^1\text{H}$ , ИК и масс-спектры соединений **1a,b**, **2**, **6**, **7**, **9**, **11**, **13a,b**, **15a-c**

Со- еди- не- ние	Масс-спектр, $m/z$ ( $I_{\text{отн}}$ , %)		ИК спектр, $\nu$ , $\text{cm}^{-1}$				Спектр ЯМР $^1\text{H}$ , $\delta$ , м. д. ( $J$ , Гц)
	$M^+$	Другие фрагменты	ОН	NH ( $\text{NH}_2$ )	$\text{C}\equiv\text{N}$	$\text{C}=\text{O}$	
<b>1a</b>	—*	—*	3330	—	2197, 2252	1710	7.23 и 7.13 (1H, два с, ОН); 4.82 и 4.48 (1H, два с, $\text{C}_{(6)}\text{H}$ ); 3.67–3.39 (1H, м, SCH); 2.12–1.17 (17H, м, СН и $(\text{CH}_2)_8$ ); 0.93 (3H, д, $J = 5.8$ , $\text{CH}_3$ )
<b>1b</b>	343 (59)	310 (23), 300 (27), 246 (47), 216 (23), 128 (25), 97 (100), 69 (47)	3450	—	2195, 2250	1690	7.10 и 7.01 (1H, два с, ОН); 4.49 и 4.36 (1H, два с, $\text{C}_{(6)}\text{H}$ ); 3.50 и 3.60 (1H, два т, $J = 4.4$ , SCH); 2.17–1.23 (18H, м, $(\text{CH}_2)_9$ )
<b>2</b>	342 (62)	324 (10), 299 (41), 245 (83), 203 (25), 147 (10), 41 (100)	3420	3330	2160, 2188	—	7.92 (1H, с, ОН); 6.13 (2H, уш. с, $\text{NH}_2$ ); 3.89 (1H, м, SCH); 2.21–1.43 (18H, м, $(\text{CH}_2)_9$ )
<b>6</b>	325 (20)	300 (38), 246 (33), 179 (15), 97 (35)	—	—	2200, 2249	1700	4.82 (1H, с, $\text{C}_{(6)}\text{H}$ ); 2.73 (2H, м, $\text{CH}_2$ ); 2.38 (2H, м, $\text{CH}_2$ ); 1.85–1.15 (14H, м, $(\text{CH}_2)_7$ )
<b>7</b>	461 (32)	356 (43), 260 (58), 179 (29), 105 (100), 77 (91)	3430	—	2190, 2268	1710, 1740	8.05–8.01 (2H, м, $\text{C}_{(2)}\text{H}$ и $\text{C}_{(6)}\text{H}$ , $\text{C}_6\text{H}_5$ ); 7.63–7.47 (3H, м, $\text{C}_6\text{H}_5$ ); 7.03 (1H, с, ОН); 3.98–3.59 (3H, м, SCH и $\text{CH}_2\text{CO}$ ); 2.07–1.23 (18H, м, $(\text{CH}_2)_9$ )
<b>9</b>	262 (66)	244 (29), 219 (55), 97 (54), 96 (52), 55 (54), 41 (100), 39 (45)	3380	—	2205	1680	7.10 (1H, с, ОН); 6.02 (1H, с, CH); 3.88 (1H, т, $J = 4.4$ , SCH); 2.33 (2H, м, $\text{CH}_2$ ); 2.23 (3H, с, $\text{CH}_3$ ); 2.14–1.79 (2H, м, $\text{CH}_2$ ); 1.59–1.47 (4H, м, $(\text{CH}_2)_2$ )

<b>11</b>	417 (38)	374 (100), 297 (21), 259 (10), 198 (5), 77 (15)	–	3360	2170	1670	10.03 (1H, уш. с, NH); 7.61 (2H, д, C <sub>(2)</sub> H и C <sub>(6)</sub> H, C <sub>6</sub> H <sub>5</sub> ); 7.37 (2H, д. д, J = 7.7 и J = 8.4, C <sub>(3)</sub> H и C <sub>(5)</sub> H, C <sub>6</sub> H <sub>5</sub> ); 7.02 (1H, д. д, C <sub>(4)</sub> H, C <sub>6</sub> H <sub>5</sub> ); 2.65 (2H, м, CH <sub>2</sub> ); 2.12 (3H, с, CH <sub>3</sub> ); 1.29–1.92 (16H, м, (CH <sub>2</sub> ) <sub>8</sub> )
<b>13a</b>	–*	–*	–	3320	2215	1680, 1710	10.36 (1H, уш. с, NH); 7.69–7.06 (8H, м, 3H, C <sub>4</sub> H <sub>5</sub> S + 5H, C <sub>6</sub> H <sub>5</sub> ); 4.86 (1H, м, SCH); 2.59 (3H, с, CH <sub>3</sub> ); 2.13–1.81 (8H, м, (CH <sub>2</sub> ) <sub>4</sub> )
<b>13b</b>	442 (100)	413 (42), 350 (61), 315 (84), 254 (69), 238 (46), 194 (21), 93 (20)	–	3330	2220	1670, 1710	10.28 (1H, уш. с, NH); 9.23 (2H, д, J = 6.0, C <sub>(3)</sub> H и C <sub>(5)</sub> H, C <sub>5</sub> H <sub>4</sub> N); 7.43 (2H, д, C <sub>(2)</sub> H и C <sub>(6)</sub> H, C <sub>5</sub> H <sub>4</sub> N); 7.35 (2H, д, C <sub>6</sub> H <sub>5</sub> ); 7.21 (2H, д. д, J = 7.6 и J = 8.2, C <sub>(3)</sub> H и C <sub>(5)</sub> H, C <sub>6</sub> H <sub>5</sub> ); 7.03 (1H, д. д, C <sub>(4)</sub> H, C <sub>6</sub> H <sub>5</sub> ); 4.87 (1H, м, SCH); 2.62 (3H, с, CH <sub>3</sub> ); 2.15–1.82 (8H, м, (CH <sub>2</sub> ) <sub>4</sub> )
<b>15a</b>	–*	–*	3450	3330, 3250	2215	1710	9.82 (1H, уш. с, OH); 7.68 (2H, уш. с, NH <sub>2</sub> ); 7.30 (2H, д, J = 10.8, C <sub>(3)</sub> H и C <sub>(5)</sub> H, C <sub>6</sub> H <sub>4</sub> OH); 6.91 (2H, д, C <sub>(2)</sub> H и C <sub>(6)</sub> H, C <sub>6</sub> H <sub>4</sub> OH); 4.81 (1H, д. д, J = 5.1 и J = 8.5, SCH); 2.63 (2H, м, CH <sub>2</sub> ); 2.12–1.76 (6H, м, (CH <sub>2</sub> ) <sub>3</sub> )
<b>15b</b>	–*	–*	–	3330	2205	1690	7.96 (1H, д, J = 2.2, C <sub>(5)</sub> H, C <sub>4</sub> H <sub>3</sub> O); 7.72 (2H, уш. с, NH <sub>2</sub> ); 7.39 (1H, д. д, C <sub>(4)</sub> H, C <sub>4</sub> H <sub>3</sub> O); 6.75 (1H, д, J = 3.0, C <sub>(3)</sub> H, C <sub>4</sub> H <sub>3</sub> O); 4.79 (1H, д. д, J = 4.8 и J = 8.3, SCH); 2.65 (2H, м, CH <sub>2</sub> ); 2.23–1.78 (6H, м, (CH <sub>2</sub> ) <sub>3</sub> )
<b>15c</b>	390 (65)	347 (100), 319 (36), 279 (31), 263 (81)	–	3314, 3330, 3472	2196	1711	7.78 (2H, уш. с, NH <sub>2</sub> ); 7.43 (4H, с, Ar); 5.01 (1H, д. д, J = 5.9 и J = 8.9, SCH); 3.02 (1H, м, CH); 2.67 (2H, м, CH <sub>2</sub> ); 2.23–1.92 (6H, м, (CH <sub>2</sub> ) <sub>3</sub> ); 1.31 (6H, д, J = 8.1, (CH <sub>3</sub> ) <sub>2</sub> )

\* Масс-спектр не снимали.

Т а б л и ц а 4

**Основные длины связей ( $d$ ) и валентные углы ( $\omega$ )  
в молекуле соединения 1a**

Связь	$d, \text{Å}$	Угол	$\omega, \text{град.}$
S <sub>(1)</sub> -C <sub>(1)</sub>	1.745(3)	C <sub>(1)</sub> -S <sub>(1)</sub> -C <sub>(15)</sub>	91.90(14)
S <sub>(1)</sub> -C <sub>(15)</sub>	1.820(3)	C <sub>(1)</sub> -N <sub>(1)</sub> -C <sub>(5)</sub>	121.4(3)
O <sub>(1)</sub> -C <sub>(14)</sub>	1.391(4)	C <sub>(1)</sub> -N <sub>(1)</sub> -C <sub>(14)</sub>	115.4(2)
O <sub>(2)</sub> -C <sub>(5)</sub>	1.202(4)	C <sub>(5)</sub> -N <sub>(1)</sub> -C <sub>(14)</sub>	122.8(2)
N <sub>(1)</sub> -C <sub>(1)</sub>	1.381(4)	S <sub>(1)</sub> -C <sub>(1)</sub> -N <sub>(1)</sub>	110.6(2)
N <sub>(1)</sub> -C <sub>(5)</sub>	1.379(4)	N <sub>(1)</sub> -C <sub>(1)</sub> -C <sub>(2)</sub>	123.8(3)
N <sub>(1)</sub> -C <sub>(14)</sub>	1.508(4)	C <sub>(1)</sub> -C <sub>(2)</sub> -C <sub>(3)</sub>	121.3(3)
C <sub>(1)</sub> -C <sub>(2)</sub>	1.344(4)	C <sub>(2)</sub> -C <sub>(3)</sub> -C <sub>(4)</sub>	103.9(2)
C <sub>(2)</sub> -C <sub>(3)</sub>	1.529(4)	C <sub>(3)</sub> -C <sub>(4)</sub> -C <sub>(5)</sub>	113.8(3)
C <sub>(3)</sub> -C <sub>(4)</sub>	1.555(4)	N <sub>(1)</sub> -C <sub>(5)</sub> -C <sub>(4)</sub>	112.6(3)
C <sub>(4)</sub> -C <sub>(5)</sub>	1.529(5)	N <sub>(1)</sub> -C <sub>(14)</sub> -C <sub>(15)</sub>	102.8(2)
C <sub>(14)</sub> -C <sub>(15)</sub>	1.533(4)	S <sub>(1)</sub> -C <sub>(15)</sub> -C <sub>(14)</sub>	105.1(2)

Т а б л и ц а 5

**Координаты атомов и эквивалентные изотропные  
тепловые параметры  $U_{\text{экв}}$  в структуре 1a**

Атом	$x$	$y$	$z$	$U_{\text{экв}}, \text{Å}^2$
S <sub>(1)</sub>	0.09236(8)	0.04485(9)	0.25959(8)	0.0484
O <sub>(1)</sub>	0.5206(3)	0.0417(3)	0.3392(3)	0.0534
O <sub>(2)</sub>	0.5890(2)	0.2610(3)	0.5921(3)	0.0675
N <sub>(1)</sub>	0.3502(3)	0.1552(3)	0.4490(2)	0.0415
N <sub>(2)</sub>	-0.1603(3)	0.1474(4)	0.4496(3)	0.0711
N <sub>(3)</sub>	0.5899(4)	0.3832(5)	0.9229(4)	0.1011
C <sub>(1)</sub>	0.1946(3)	0.1422(3)	0.4303(3)	0.0382
C <sub>(2)</sub>	0.1332(3)	0.2037(3)	0.5297(3)	0.0394
C <sub>(3)</sub>	0.2344(3)	0.3008(3)	0.6719(3)	0.0384
C <sub>(4)</sub>	0.3806(3)	0.2406(4)	0.6938(3)	0.0439
C <sub>(5)</sub>	0.4546(3)	0.2230(3)	0.5769(3)	0.0460
C <sub>(6)</sub>	-0.0302(4)	0.1747(3)	0.4902(3)	0.0471
C <sub>(7)</sub>	0.4997(4)	0.4997(4)	0.8224(4)	0.0662
C <sub>(8)</sub>	0.2717(4)	0.4507(4)	0.6757(4)	0.0510
C <sub>(9)</sub>	0.1339(5)	0.5174(4)	0.6734(4)	0.0662
C <sub>(10)</sub>	0.0667(5)	0.5172(4)	0.7924(4)	0.0694
C <sub>(11)</sub>	0.0306(4)	0.3705(4)	0.7941(4)	0.0597
C <sub>(12)</sub>	0.1640(4)	0.2973(4)	0.7894(3)	0.0475
C <sub>(13)</sub>	-0.0742(6)	0.5790(6)	0.7840(6)	0.0997
C <sub>(14)</sub>	0.3973(3)	0.1053(3)	0.3190(3)	0.0421
C <sub>(15)</sub>	0.2609(3)	-0.0139(3)	0.2231(3)	0.0454
C <sub>(16)</sub>	0.2544(4)	-0.0506(4)	0.0716(4)	0.0616
C <sub>(17)</sub>	0.2807(5)	0.0741(5)	0.0285(4)	0.0716
C <sub>(18)</sub>	0.4300(5)	0.1756(5)	0.1196(4)	0.0732
C <sub>(19)</sub>	0.4263(4)	0.2251(4)	0.2690(4)	0.0554
H <sub>(1)</sub>	0.591(6)	0.118(6)	0.394(6)	0.11(2)

Молекулярная и кристаллическая структуры 3-гидрокси-2,3-тетраметил-5-оксо-6,8-дициано-2,3,4,5,6,7-гексагидроспиротиазоло[3,2-*a*]пиридин-7,1'-(4'-метилциклогексана) (**1a**) доказана рентгеноструктурным методом (рис. 1 и табл. 4). Как шестичленный гетероцикл N<sub>(1)</sub>C<sub>(1-5)</sub>, так и пятичленный гетероцикл S<sub>(1)</sub>C<sub>(1)</sub>N<sub>(1)</sub>C<sub>(14)</sub>C<sub>(15)</sub> существенно неплоские – отклонения атомов от среднеквадратичных плоскостей достигают, соответственно, 0.33 и 0.24 Å. При этом двугранный угол между плоскостями 5- и 6-членного циклов составляет 13.4°. Пятичленный гетероцикл имеет конформацию *конверта*: атомы S<sub>(1)</sub>, C<sub>(1)</sub>, N<sub>(1)</sub> и C<sub>(14)</sub> копланарны в пределах 0.05 Å, а атом C<sub>(15)</sub> выходит из этой плоскости на 0.60 Å; двугранный угол между плоскостями S<sub>(1)</sub>C<sub>(1)</sub>N<sub>(1)</sub>C<sub>(14)</sub> и S<sub>(1)</sub>C<sub>(14)</sub>C<sub>(15)</sub> составляет 36.6°. Выполненный для 6-членного гетероцикла N<sub>(1)</sub>C<sub>(1-5)</sub> расчет модифицированных параметров Кремера–Поппла [8] ( $S = 0.69$ ,  $\theta = 41.71^\circ$ ,  $\psi = 13.61^\circ$ ) показал, что данный цикл имеет конформацию, промежуточную между *полукреслом* и *полуванной*. Атом N<sub>(1)</sub> имеет плоскотригональную конфигурацию связей (сумма валентных углов при этом атоме составляет 359.6(7)°). Заметное укорочение связей N<sub>(1)</sub>–C<sub>(1)</sub> 1.381(4) и N<sub>(1)</sub>–C<sub>(5)</sub> 1.379(4) Å по сравнению с интервалом значений 1.43–1.45 Å, характерным для "чисто одинарной" связи N(sp<sup>2</sup>)–C(sp<sup>2</sup>) [9, 10], указывает на достаточно эффективное *n*(N<sub>(1)</sub>)-*π*<sup>\*</sup>(C<sub>(1)</sub>=C<sub>(2)</sub>) и *n*(N<sub>(1)</sub>)-*π*<sup>\*</sup>(O<sub>(2)</sub>=C<sub>(5)</sub>) сопряжение. Отметим, что конформация молекулы **1a** весьма благоприятна для такого взаимодействия: торсионные углы C<sub>(5)</sub>–N<sub>(1)</sub>–C<sub>(1)</sub>–C<sub>(2)</sub> и C<sub>(14)</sub>–N<sub>(1)</sub>–C<sub>(1)</sub>–C<sub>(2)</sub> составляют 6.2 и –167.2°, торсионные углы C<sub>(1)</sub>–N<sub>(1)</sub>–C<sub>(5)</sub>–O<sub>(2)</sub> и C<sub>(14)</sub>–N<sub>(1)</sub>–C<sub>(5)</sub>–O<sub>(2)</sub> равны –164.3 и 8.6°. Особенностью структуры соединения **1a** является внутримолекулярная водородная связь O<sub>(1)</sub>–H<sub>(1)</sub>…O<sub>(2)</sub> (O<sub>(1)</sub>…O<sub>(2)</sub> 2.809(4), H<sub>(1)</sub>…O<sub>(2)</sub> 2.18(6) Å, O<sub>(1)</sub>H<sub>(1)</sub>O<sub>(2)</sub> 127(3)).

Наличие в кристалле соединения **1a** укороченных межмолекулярных контактов O<sub>(1)</sub>…N<sub>(2)</sub> 2.818(4) (H<sub>(1)</sub>…N<sub>(2)</sub> 2.18(6) Å, O<sub>(1)</sub>H<sub>(1)</sub>N<sub>(2)</sub> 129(3)°) указывает на возможность образования водородных связей O<sub>(1)</sub>–H<sub>(1)</sub>…N<sub>(2)</sub> (рис. 2).

## ЭКСПЕРИМЕНТАЛЬНАЯ ЧАСТЬ

ИК спектры получали на спектрофотометре ИКС-29 в вазелиновом масле. Спектры ЯМР <sup>1</sup>H регистрировали на приборах Bruker WP-100 SY (100 МГц) (соединение **1a**), Gemini-200 (199 МГц) (соединения **6**, **7**), Bruker WM-250 (250 МГц) (соединение **15c**), Bruker AM-300 (300 МГц) (соединения **1b**, **2**, **9**, **11**, **13a,b**, **15a,b**) в ДМСО-d<sub>6</sub>, внутренний стандарт ТМС. Масс-спектры снимали на спектрометре Kratos MS-890 (70 эВ). Температуры плавления определяли на блоке Кофлера. Контроль за ходом реакции и чистотой полученных соединений осуществляли методом ТСХ (Silufol UV-254, ацетон–гексан, 3:5, проявитель – пары иода).

**Рентгеноструктурное исследование монокристалла соединения 1a** с линейными размерами 0.16 × 0.22 × 0.34 мм проведено при комнатной температуре на автоматическом четырехкружном дифрактометре Enraf-Nonius CAD-4 (CuK<sub>α</sub>-излучение, отношение скоростей сканирования ω/2θ = 1.2, θ<sub>max</sub> = 60°, сегмент сферы 0 ≤ h ≤ 11, –12 ≤ k ≤ 12, –12 ≤ l ≤ 12). Всего было собрано 2896 отражений, из которых 2700 являются симметрически независимыми (R-фактор усреднения 0.020). Кристаллы соединения **1a** триклинные, a = 9.199(2), b = 10.286(2), c = 10.651(2) Å, α = 107.62(2), β = 103.37(2), γ = 97.83(2)°, V = 896.6 Å<sup>3</sup>,

$M = 357.47$ ,  $Z = 2$ ,  $d_{\text{выч}} = 1.32 \text{ г/см}^3$ ,  $\mu = 17.009 \text{ см}^{-1}$ , пространственная группа  $P1(N2)$ . Учет поглощения в кристалле был выполнен по методу азимутального сканирования [11]. Структура расшифрована прямым методом и уточнена МНК в полноматричном анизотропном приближении с использованием комплекса программ CRYSTALS [12]. В уточнении использовано 1977 отражений с  $I > 3\sigma(I)$  (230 уточняемых параметров, число отражений на параметр 8.6). Все атомы водорода выявлены из разностного синтеза электронной плотности и включены в расчет с фиксированными позиционными и тепловыми параметрами, лишь атом  $H_{(1)}$  был уточнен изотропно. При уточнении использовалась весовая схема Чебышева [13] с параметрами 1.56, -1.21, 0.80 и -0.74. Окончательные значения факторов расходимости  $R = 0.055$  и  $R_w = 0.054$ ,  $GOF = 1.088$ . Остаточная электронная плотность из разностного ряда Фурье 0.24 и -0.36  $e/\text{Å}^3$ . Координаты атомов приведены в табл. 4.

**3-Гидрокси-2,3-тетраметилен-5-оксо-6,8-дициано-2,3,4,5,6,7-гексагидроспиротиазоло[3,2-*a*]пиридин-7,1'-(4'-метилциклогексан) (1a)**, **3-гидрокси-2,3-тетраметилен-5-оксо-6,8-дициано-2,3,4,5,6,7-гексагидроспиротиазоло[3,2-*a*]пиридин-7-циклогексан (1b)**, **5-амино-3-гидрокси-2,3-тетраметилен-6,8-дициано-2,3,4,7-тетрагидроспиротиазоло[3,2-*a*]пиридин-7-циклогексан (2)**, **3-гидрокси-2,3-тетраметилен-5-оксо-7-метил-8-циано-2,3,4,5-тетрагидротиазоло[3,2-*a*]пиридин (9)**, **2,3-тетраметилен-5-метил-6-фенилкарба-моил-8-циано-4,7-дигидроспиротиазоло[3,2-*a*]пиридин-7-циклогексан (11)**, **6-метил-2-(2'-оксоциклогексилтио)-4-(2'-тиенил)-5-фенилкарбамоил-3-цианопиридин (13a)**, **6-метил-2-(2'-оксоциклогексилтио)-4-(4'-пиридил)-5-фенилкарбамоил-3-цианопиридин (13b)**, **6-амино-4-(4'-гидроксифенил)-2-(2'-оксоциклогексилтио)-3,5-дицианопиридин (15a)**, **6-амино-2-(2'-оксоциклогексилтио)-4-(2'-фурил)-3,5-дицианопиридин (15b)** и **6-амино-2-(2'-оксоциклогексилтио)-4-(4'-изопропилфенил)-3,5-дицианопиридин (15c)** (общая методика). Смесь 10 ммоль соответствующего тиона или его соли и 1.77 г (10 ммоль) 2-бромциклогексанона в 10 мл ДМФА при 20 °С перемешивают 4 ч и оставляют на 1 сут. Выпавший осадок отфильтровывают, промывают 40% водным раствором этанола и гексаном и получают соединения **1a, b**, **2**, **9**, **11**, **13a, b**, **15a–c** (табл. 1, 2). Спектр ЯМР  $^1\text{H}$  ( $\text{CDCl}_3$ ) соединения **1a**,  $\delta$ , м. д. ( $J$ , Гц): 4.58 (1H, с, OH); 3.82 (1H, т,  $J = 4.1$ ,  $\text{C}_{(2)}\text{H}$ ); 3.66 (1H, с,  $\text{C}_{(6)}\text{H}$ ); 2.27–1.22 (17H, м,  $(\text{CH}_2)_4$  и  $(\text{CH}_2)_2\text{CH}(\text{CH}_2)_2$ ); 0.96 (3H, д,  $J = 5.7$ ,  $\text{CH}_3$ ).

**2,3-Тетраметилен-5-оксо-6,8-дициано-4,5,6,7-тетрагидроспиротиазоло[3,2-*a*]пиридин-7-циклогексан (6)**. А. Смесь 1.7 г (5 ммоль) соединения **1b** и 0.49 мл (5 ммоль) конц.  $\text{H}_2\text{SO}_4$  в 15 мл этанола кипятят 2 ч. Через 1 сут образовавшийся осадок отфильтровывают, промывают этанолом и гексаном. Получают соединение **6** (табл. 1–3).

Б. Кипятят 1.7 г (5 ммоль) соединения **1b** в течение 1 ч в 5 мл  $\text{As}_2\text{O}$ . Образовавшийся через 1 сут осадок отфильтровывают, промывают этанолом и гексаном. Получают соединение **6** с выходом 71%, идентичное по данным ТСХ и спектра ЯМР  $^1\text{H}$ , полученному по методу А.

**6-Бензилметилен-5-оксо-6,8-дициано-2,3-тетраметилен-2,3,4,5,6,7-гексагидроспиротиазоло[3,2-*a*]пиридин-7-циклогексан (7)**. К суспензии 1.7 г (5 ммоль) соединения **1b** в 10 мл ДМФА при перемешивании прибавляют 2.8 мл (5 ммоль) 10% водного раствора  $\text{KOH}$ , а через 5 мин 1 г (5 ммоль)  $\alpha$ -бромацетофенона и перемешивают реакционную смесь 4 ч. Через 1 сут образовавшийся осадок отфильтровывают, промывают этанолом, гексаном. Получают соединение **7** (табл. 1–3).

Методы синтеза и характеристики исходных соединений **3a, b**, **4**, **8**, **10**, **12a, b**, **14a–c** приведены в работе [14].

## СПИСОК ЛИТЕРАТУРЫ

1. V. P. Litvinov, L. A. Rodinovskaya, Y. A. Sharanin, A. M. Shestopalov, A. Senning, *Sulfur Reports*, **13**, 1 (1992).
2. A. Roth, K. Goerlitzer, *Arch. Pharm.*, **326**, 642 (1993).
3. K. Goerlitzer, A. Roth, *Pharmazie*, **50**, 729 (1995).
4. А. Д. Дяченко, С. М. Десенко, В. Д. Дяченко, В. П. Литвинов, *ХТС*, 554 (2000).
5. А. Краузе, Г. Дубурс, *ХТС*, 1134 (1996).

6. А. М. Шестопалов, Л. А. Родиновская, Ю. А. Шаранин, В. П. Литвинов, *ЖОрХ*, **58**, 840 (1988).
7. В. П. Литвинов, А. М. Шестопалов, Ю. А. Шаранин, В. Ю. Мортиков, В. Н. Нестеров, *ДАН*, **299**, 135 (1988).
8. Н. С. Зефилов, В. А. Палюлин, *ДАН*, **252**, 111 (1980).
9. M. Burke-Laing, M. Laing, *Acta Crystallogr.*, **B32**, 3216 (1976).
10. F. H. Allen, O. Kennard, D. G. Watson, L. Brammer, A. G. Orpen, R. Taylor, *J. Chem. Soc., Perkin Trans. 2*, P. S1 (1987).
11. A. C. T. North, D. C. Phillips, F. Scott, F. S. Mathews, *Acta Crystallogr.*, **A24**, 351 (1968).
12. D. J. Watkin, C. K. Prout, J. R. Carruthers, P. W. Betteridge, *CRYSTALS Issue 10, Chemical Crystallography Laboratory*, Univ. of Oxford, 1996.
13. J. R. Carruthers, D. J. Watkin, *Acta Crystallogr.*, **A35**, 698 (1979).
14. В. Д. Дяченко, Дис. докт. хим. наук, Москва, 1998.

*Луганский государственный педагогический университет им. Тараса Шевченко, Луганск 91011, Украина  
e-mail: dvd\_lug@online.lg.ua*

*Поступило в редакцию 13.06.2001  
После доработки 14.02.2002*

<sup>a</sup>*Харьковский национальный университет им. В. Н. Каразина, Харьков 61070, Украина*

<sup>b</sup>*Институт органической химии НАН Украины, Киев 02094  
e-mail: iochkiev@ukrpack.net*